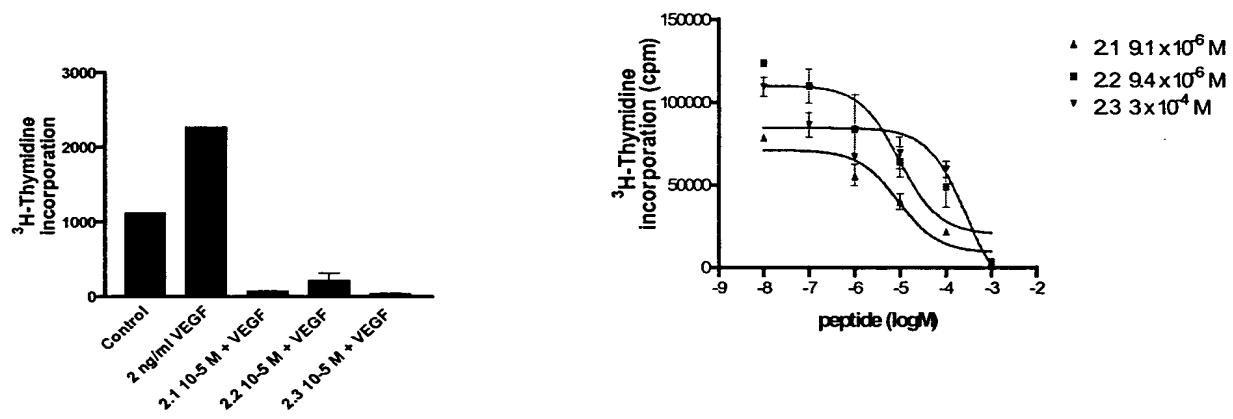
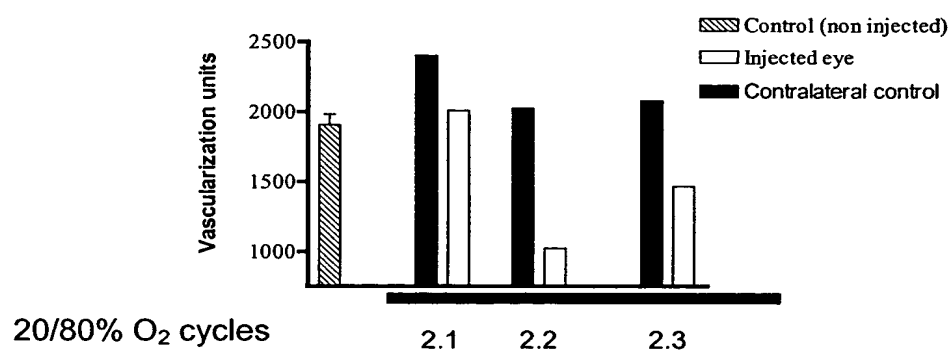


FIG. 1



A

B



C

FIG. 2

MQSKVLLAVALWLCVETRAASVGLPSVSLDLPRLSIQKDILT IKANTT LQITCRGQRDLD 60
 ↑
 Ig-like 1
 WLWPNNQSGSEQRVEVTECDGLFCKTLTIPKVIGNDTGAYKCFYRETDLASVIYVYVQD 120
 YRSPFIASVSDQHGVVYITENKKNKTVVIPCLGSISNLNVSLCARYPEKRFVPDGNRISWD 180
 ↑
 Ig-like 2
 SKKGFTIPSYMISYAGMVFCEAKINDESYQSIMYIVVVVGYRIYDVVLSPSHGIELSVGE 240
 ↑
 Ig-like 3
 KLVLNCTARTELNVGIDFNWEYPPSSKHQHKKLVNRDLKTQSGSEMKKFLSTLTIDGVTRS 300
 DQGLYTCAASSGLMTKKNSTFVRVHEKPFVAFGSGMESLVEATVGERVRIPAKYLGYP 360
 ↑
 Ig-like 4
 EIKWYKNGI PLESNHTIKAGHVLTIMEVSE RDTGNYTVILTNPISKEKQSHVVS LVVYVP 420
 PQIGEKSLISPVD SYQYGT TQTLTCTVYAIPPPHHIHWYQLEEECANEPSQAVSVTNPY 480
 ↑
 Ig-like 5
 PCEEWRSVEDFQGGNKIEVNKNQFALIEGKNKTVSTLVIQAANVSALYKCEAVNKVGRGE 540
 RVISFHVTRGPEITLQPD MQPTEQESVSLWCTADRSTFENLTWYKLG PQLPIHVGELPT 600
 ↑
 Ig-like 6
 PVCKNLDTLWKLNATMFSNSTNDILIMELKNASLQDQGDY VCLAQDRKTKKRHCVVRQLT 660
 ↓
 Ig-like 7
 VLERVAPTITGNLENQTT SIGESIEV SCTASGNPPPQIMWFKDNETLVEDSGIVLKDGNR 720

Figure 3

NLTIRRVKKEDEGLYTCQACSVLGCAKVEAFFIIEGAQEKTNLEIILVGTAVIAMFFWL 780
LLVIILRTVKRANGGELKTGYLSIVMDPELPLDEHCERLPYDASKWEFPRDRLKLGKPL 840
GRGAFGQVIEADAFGIDKTATCRTVAVKMLKEGATHSEHRALMSELKILIHIGHHLNVVN 900
LLGACTKPGGPLMVIVEFCKFGNLSTYLRSKRNEFVPYKTKGARFRQGKDYVGAIPVDLK 960
RRLDSITSSQSSASSGFVEEKSLSDVVEEEAPEDLYKDFTLEHLICYSFQVAKGMEFLA 1020
SRKCIHRDLAARNILLSEKNVVKICDFGLARDIYKDPDYVRKGDARLPLKWMAPETIFDR 1080
VYTIQSDVWSFGVLLWEIFSLGASPYPGVKIDEEFCRRLKEGTRMRAPDYTTPEMYQTML 1140
DCWHGEPQRPTFSSELVEHLGNLLQANAQQDGKDYIVLPISETLSMEEDSGLSLPTSPVS 1200
CMEEEEVCDPKFHYDNTAGISQYLQNSKRKSRPVSVKTFEDIPLEEPEVKVIPDDNQTS 1260
GMVLASEELKTLEDRTKLSPSFGGMVPSKSRESVASEGSNQTSGYQSGYHSDDTDTTVYS 1320
SEEAELLKLIIEIGVQTGSTAQILQPDSGTTLSPPV

FIG. 3 continued

MKVLLRLICFIALLISSLEADKCKEREKIIILVSSANEIDVRPCPLNPNEHKGTITWYKD 60
 ↑
 Ig-like domain 1 →
 DSKTPVSTEQASRIHQHKEKLWFVPAKVEDSGHYICVVRNSSYCLRIKISAKFVENEPNL 120
 CYNQAIFKQKLPVAGDGGLVCPYMEFFKNENNELPKLQWYKDCPKLLLDNIHFSGVKDR 180
 ↑
 Ig-like 2 →
LIVMNVAEKHRGNVTCHASYTYLGKQYPITRVIEFITLEENKPTRPVIVSPANETMEVDL 240
 ↑
 Ig-like 3 →
 GSQIQLICNVTGQLSDIAYWKWNGSVIDEEDDPVLGEDYYSVENPANKRRSTLITVLNISE 300
 IESRFYKHPFTCFKNTHGIDAAIQLIYPVTNFQKHMIGICVTLTVIIVCSVFIYKIFK 360
 IDIVLWYRDSCYDFLPIKASDGKTYDAYILYPKTVGEGSTSDCDIFVFKVLPEVLEKQCG 420
 YKLFYIGRDDYVGEDIVEVINENVKKSRLIIILVRETSGFSWLGGSSSEQIAMYNALVQ 480
 DGIKVVLLLELEKIQDYEKMPESIKFIKQKHGAIRWSGDFTQGPQSAKTRFWKNVRYHMPV 540
 QRRSPSSKHQLLSPATKEKLQREAHVPLG 569

FIG. 4

MKSGSGGGSPTSLWGLLFLSAALSLWPTSGEICGPGIDIRNDYQQLKRLNCTVIEGYLH 60

Chaîne α →

ILLISKAEDYRSYRFPKLTVITEYLLLFRVAGLESGLDLPNLTVIRGWKLFYNYALVIF 120

EMTNLKDIGLYNLRNITRGAIRIEKNADLCYLSTVDWSLILDAVSNNYIVGNKPPKECGD 180

LCPGTMEEKPMCEKTTINNEYNYRCWTTNRCQKMCPSTCGKRACTENNECCHPECLGSCS 240

↑ Cyst rich domain →

APDNDTACVACRHYHYAGVCPACPPNTYRFEGWRCVDRDFCANILSAESSDSEGFVIHD 300

GE~~CMQ~~ECPSGFIRNGSQSMYCIPCEGPCPKVCEEEKTKTIDSVTSAQMLQGCTIFKGNL 360

← Cyst rich domain ↑ ↑ L2 domain →

LINIRRGNNIAS~~ELENFMGLIEVVTGYVKIRHSHALVSLSFLKNLRLILGEEQLEGNYSF~~ 420

YVL~~DNQNLQQLWDWDHRNLTIKAGKMYFAFNPKLCVSEIYRMEEVTG~~TKGRQSKGDINTR 480

NNGERAS~~CESDVLHFTSTTTSKNR~~IIITWHRYRPPDYRD~~LISFTVYYKEAPFKNVTEYDG~~ 540

← L2 ↑ ↑ FbnIII-1 →

QDACGSNSWN~~MVDVLDLPPNKDVEPGILLHGLKPWTQYAVYVKAVTLTMVENDHIRGAKSE~~ 600

ILYIRTNASVPSIPLDVLSASNSSSQLIVKWNPPSLPNGNLSYYIVRWQRQPQDGYLYRH 660

← FbnIII-1 ↑ ↑ FbnIII-2a →

NYCSKDKIPIRKYADGTIDIEEVTENPKTEVCGGEKGPCCACPKTEAEKQAEKEEAEYRK 720

VFEN~~FLHNSIFVPRPERKRRDVMQVANTTSSRSRNTTAADTYNITDPEELETEYPPFFES~~ 780

← Juxtamembranaire α / Chaîne α / Chaîne β →

RVDNKERTVIS~~NLRPF~~FTLYRIDIHSCNHEAEKLGCSASNFVFARTMPAEGADDIPGPVTW 840

↑ FbnIII-2b domain → ← FbnIII-2b ↑ ↑ FbnIII-3 →

EPRPENSIFLKWPEPENPNGLILMYEIKYGSQVEDQREC~~VSRQ~~EYRKYGGAKLNRLNPGN 900

YTARIQATSLSGNGSW~~TDPVFFYVQAKTGYENFIHLIIALPVAVLLI~~VGGLVIMLYVFHR 960

Juxtamembranous β

KR~~NN~~SRLGNGVLYASVNPEYFSAADVVPDEWEVAREKITMSRELQGSFGMVYEGVAKG 1020

VVKDEPETRVAIKTVNEAASMRERIEFLNEASVMKEFNCHHVRLLGVVVSQGQPTLVIME 1080

LMTRGDLKSYLRSLRPEMENNPVLAPPSLSKMIQMAGEIADGMAYLNANKFVHRDLAARN 1140

CMVAEDFTVKIGDFGMTRDIYETDYRKGGKLLPVRWMSPESLKDGVFTTYSDVWSFGV 1200

VLWEIATLAEQPYQGLSNEQVLRFVMEGGLLDKPDNCPDMLFELMRMCWQYNPKMRPSFL 1260

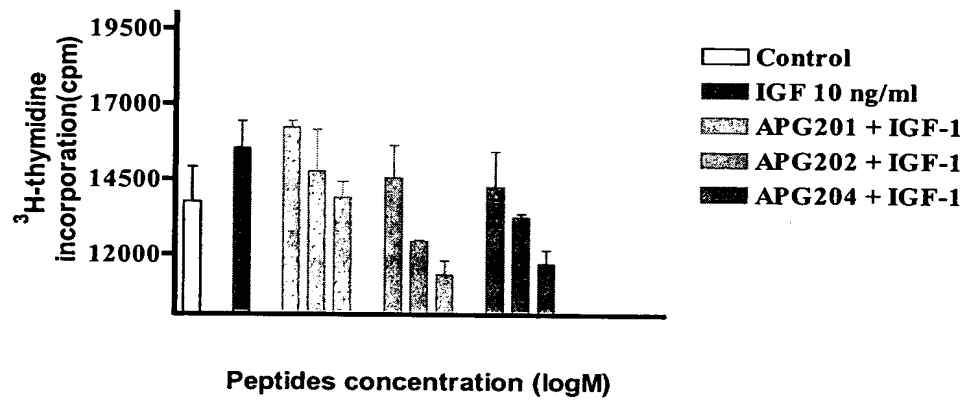
EIISSIKEEMEPGPFREVSFYyseENKLPEPEELDLEPENMESVPLDPSASSSSSLPLDRH 1320

SGHKAENGPGPGVLVLRASFDERQPYAHMNGGRKNERALPLPQSSTC 1367

← β Chain

FIG. 6

A



B

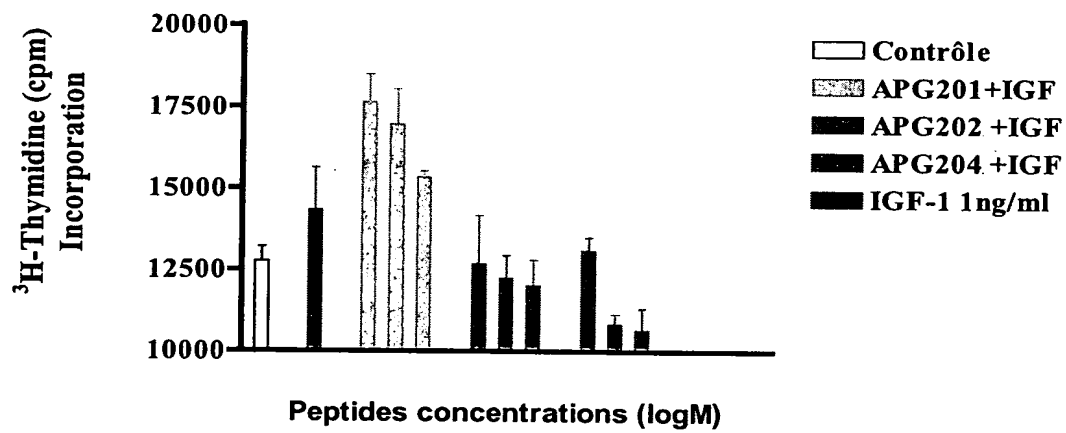
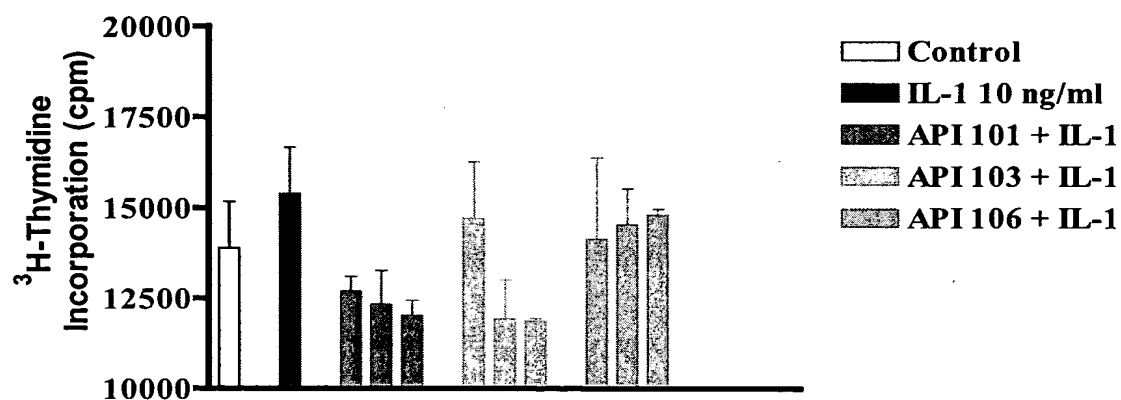
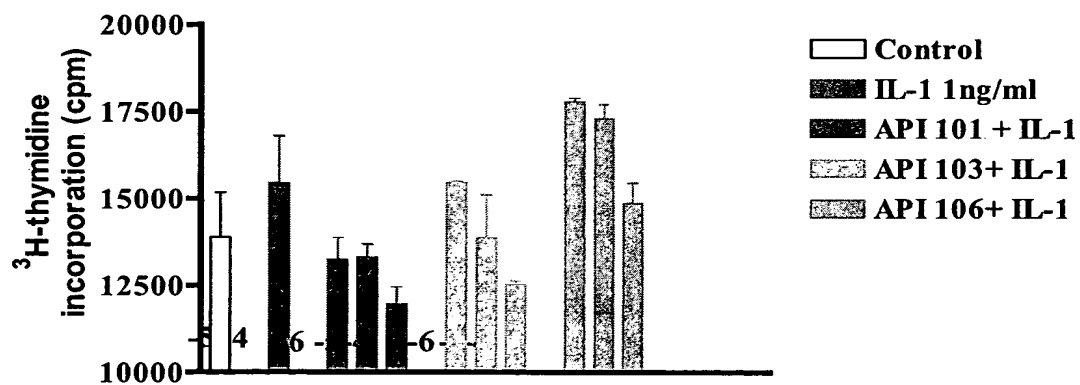


FIG. 8



Peptides concentrations (log(M))

B



Peptides concentrations (log(M))

FIG. 9

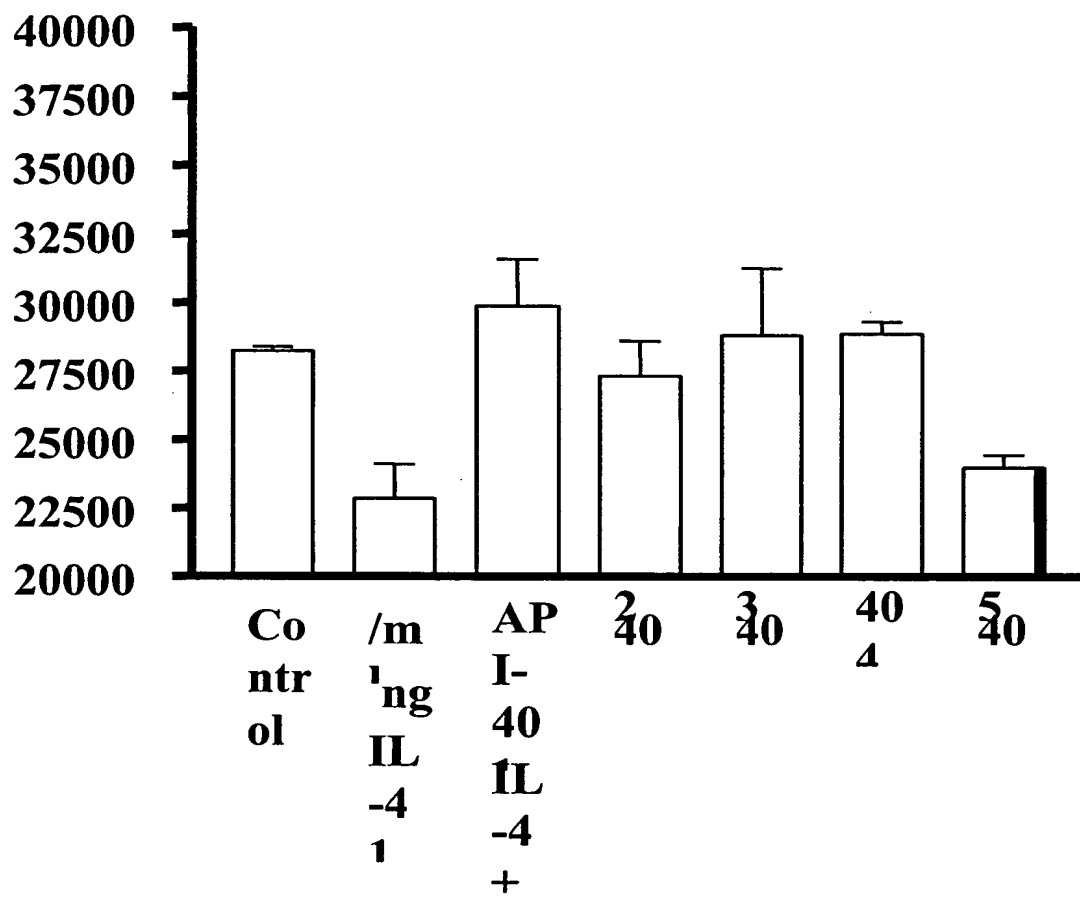


FIG. 10

| | |
|-------------|--|
| IL1R_HUMAN | ---NKVLLRLICFIALLISLEADKCKEREKIIIVSSANEIDVRPCP--LNPNEHKG-T |
| IL1R_MOUSE | MENMKVLLGLICLMVPLLS-LPIDVCTEYPNQIVLFLSVNEIDIRKCP--LTPNKMHGDT |
| IL1R_RAT | MENMKVLLGFICLIVPLLS-LETDKCTEYPNEVISFSSVNEIDIRSCP--LTPNEMHGDT |
| IL-1R HORSE | MHKMTSTFLLIGHLILLI-LPSAEECVICN----YFVLVGEPTAISCPTITLPLHSDYN |
| | * : * : * : * : * : * : * : * : * : * |
| IL1R_HUMAN | ITWYKDDSKTPVSTEQASHIHQKKEKLWFVPAKVEDSGHYVCVVRNSSYCLRIKISAKFV |
| IL1R_MOUSE | IIWYKDDSKTPISADRDSSIHQQNEHLWFVPAKVEDSGYYYCIVRNSTYCLTKKVTVTVL |
| IL1R_RAT | IIWYKDDSKTPISADKDSIHQQNEHLWFVPAKVEDSGYYYCIVRNSTYCLTKKITMSVL |
| IL-1R HORSE | LTWYRNGSNMPITTERRAIIHQKGLLWFIIPALEDGLYCEVRSLNRSKQKIINLKVP |
| | : * : * : * : * : * : * : * : * : * |
| IL1R_HUMAN | ENEPNLCTNAQAIIFKQKLIVAGDGGSLVCPYMEFFKNENNELPKLQWYKDCPKLLLDN--I |
| IL1R_MOUSE | ENDPGLCYSTQATFPQRLIIAGDGSILVCPYVSYPKEDNNELPEVQWYKCKPLLLDN--V |
| IL1R_RAT | ENDPGLCYNTQASPIQRLIVAGDGSILVCPYLDFFKEDNNELPKVQWYKCKPLPLDD--G |
| IL-1R HORSE | KQDNGLCFNGEMKYDQIVKSNAGKIICPDLENPKEDNINPEIHWWKECKSGFLDQRL |
| | : * : * : * : * : * : * : * : * : * |
| IL1R_HUMAN | HPSGVKDRLLVMNVAEKHGNYTCHASYTYLGKQYPTIRVIEPITLLENKPTRFPVIVSPA |
| IL1R_MOUSE | SFFGVKDKLLVRNVAEEHGDYICRMSYTFRGKQYPTIRVITIDENKDRFPVILSPR |
| IL1R_RAT | NFFGFKNKLMVMNVAEEHGNYSYTYGKQYPTIRVITIDDSKDRFPVIMSPR |
| IL-1R HORSE | VLAEGENAILILNVTIQDKGNYTCRMVYTYMGKQYVNSRTMNLVKESPLIQRPEFIYPN |
| | : * : * : * : * : * : * : * : * : * |
| IL1R_HUMAN | NETMEVDLGSQIOLICNVIG-QLSDIAYWKWNGSVIDEDEFLVGEDYYSVENPANKRST |
| IL1R_MOUSE | NETIEADPGSMIOLICNVIG-QPSDLVYWKWNGSEIEWNDFFLAEDYQFVEHPSTKRKYT |
| IL1R_RAT | NETMEADPGSTIOLICNVIG-QFTDLVYWKWNGSEIEWDDPILAEQYQFLEHPSAKRKYT |
| IL-1R HORSE | NNTIEVELGSHVMECNVSSGVYGLLPYQWVDEEDVD\$FSDTYREQFYEEGMPHG--IAV |
| | * : * : * : * : * : * : * : * : * : * |
| IL1R_HUMAN | LITVLNISEIESRFYKHFETCFKNTHGIDAAYIQLIYFVTFNFKHMGICVTLTVIIVC |
| IL1R_MOUSE | LITTLNISEVKSQFYRYFPICFVKNTHIFESAHVOLIYPVPDFKNYLIGGFIIILTATIVC |
| IL1R_RAT | LITTLNVSEVKSQFYRYFPICFVKNTHILETAHVRLVYPVPDFKNYLIGGFATATAVF |
| IL-1R HORSE | SGTKFNISEVKLQDYAYFFCHFIYDSQFETSYIKLEHPQNIIRGYLIGGGISLFLFL |
| | * : * : * : * : * : * : * : * : * : * |
| IL1R_HUMAN | SVFIYKIPKIDIVLWYRLSCYDFLPKASDGKTYDAYILYPKTVGEGSTSDCDIFVFKVL |
| IL1R_MOUSE | CVCYKVFVVDIVLWYRLSCSGFLPSKASDGKTYDAYILYPKTLGEGSPDLDTFVFKLL |
| IL1R_RAT | CACIYKVFVVDIVLWYRLSCSDFLPRKASDGRTYDAYVLYPKTYGEGSPAYLDTFVFKLL |
| IL-1R HORSE | ILIVYKIPKIDIVLWYRLSCHPLLGKQVSDGKIYDAYVLYPKWR-ESCLYSSDI FALKIL |
| | : * : * : * : * : * : * : * : * : * |
| IL1R_HUMAN | PEVLEKQCGYKLFYIGRI-DYVGEDIVEINENVKSRRLIIILVRETSGPSWLGGSSSEEQ |
| IL1R_MOUSE | PEVLEGQFGYKLFYIGRI-DYVGEDTIEVTNENVKSRRLIIILVRDMGGPSWLQSSSEEQ |
| IL1R_RAT | PEVLEGQFGYKLFICGRI-DYVGEDTIEVTNENVKSRRLIIILVRDMGSPSCLGQSSSEEQ |
| IL-1R HORSE | PEVLERQCCYNLFIFGRNDLAGRAVIDTDEKIHQSRRLIIILVPEPSCYGILEDASEKH |
| | ***** : * : * : * : * : * : * : * : * : * |
| IL1R_HUMAN | IAMYNALVQDGIKVLLLEKIQDYKMPESIKFIKQKHGAIRWSGDFTQGFPQSAKTRFW |
| IL1R_MOUSE | IATYNALIQEGIKIVLLLEKIQDYKMPDSIQFIKQKHGVICWSGDFQERPOSAKTRFW |
| IL1R_RAT | IATYDALIREGIKIILLLEKIQDYKMPESIQFIKQKHGAICWSGDFKERPOSAKTRFW |
| IL-1R HORSE | LAVYNALIQDGIKIILLLEKIEDYANMPESIKYVKKYGAIRWTGDFSERSHSASTRFW |
| | : * : * : * : * : * : * : * : * : * |
| IL1R_HUMAN | KNVRYHMPVQRRSPSSK:QLLSP---ATKEKIQREAHVPLG |
| IL1R_MOUSE | KNLRYQMPAQRRSPLSK:IRLLTLDPVVDTKELPAATHLPLG |
| IL1R_RAT | KNLRYQMPAQRRSPLSK:IRLLTLDPVLDTKELQAETHLPLG |
| IL-1R HORSE | KKVRYHMPSRKHGSSSG7HLSS----- |
| | * : * : * : * : * : * : * : * : * : * |

FIGURE 11

| | |
|-------------|---|
| IL4R_HUMAN | MGWLCSGLLFPVSCVLVLLQVASSGNMKVLQEPCTCVSDYMSISTCEWKNNGPTNCSTELRL |
| IL4R_MOUSE | MGRLLCTKFLTSVGCLILLI VTGSGSIKVLGEPTCPDXYIATSTCEWFLDSAVDCSSQLCL |
| IL-4R HORSE | MGRLLCTKFLTSVGCLILLI VTGSGSIKVLGEPTCPDXYIATSTCEWFLDSAVDCSSQLCL |
| | * * * * * : : : : : * * * * * : : : : : * * * * * : : : : : * * * * * : : : : * |
| IL4R_HUMAN | LYQLVFLLS-EAHTCIPENNGGAGCVCHLLMDDVV3ADNYTLDLWAGQQLLWKGSPKPS |
| IL4R_MOUSE | HYRLMPFEFSENLTICIPNSASTVCVCHMEMNRPVQSDRYOMELWAEHRQLWQGSFSPSG |
| IL-4R HORSE | HYRLMPFEFSENLTICIPNSASTVCVCHMEMNRPVQSDRYOMELWAEHRQLWQGSFSPSG |
| | * : : : * * * * * : : : * : : : * : : : * : : : * : : : * : : : * : : : * |
| IL4R_HUMAN | HVKPRAPGNLTVHTNVSD:LLLTWSNBPYPDNVLYVNHLYAVNIWSENDEADRIYNVTY |
| IL4R_MOUSE | NVKEPLAPDNLTHTNVSD:WLLTWNLYPSNNLLYKOLISMVNI3REDNPAEFIVYNVTY |
| IL-4R HORSE | NVKEPLAPDNLTHTNVSD:WLLTWNLYPSNNLLYKOLISMVNI3REDNPAEFIVYNVTY |
| | : * * * * : : : : : * * * * * : : : : : * * * * * : : : : : * * * * * : : : : * |
| IL4R_HUMAN | LEPSLRIAASLTLSGSIY:ARVRAWAQCYNTTSEWSPSTKWHNSYREPPQHLLLGVS |
| IL4R_MOUSE | KEPRLSFPINILMSGVY:ARVVRVSQILTGTWSEWSPSTWYNHQLPLIQRPLGVYI |
| IL-4R HORSE | KEPRLSFPINILMSGVY:ARVVRVSQILTGTWSEWSPSTWYNHQLPLIQRPLGVYI |
| | * : : : * * * * * : : : * : : : * : : : * : : : * : : : * : : : * : : : * |
| IL4R_HUMAN | SCIVILAVCLLCYVSITKIKKEWWDQIPNPARSRLVAIIQDAQGSQWEKRSRGQEPKXC |
| IL4R_MOUSE | SCLCIPLFCLECYPSITKIKKIWWDQIPTPARSPLVAIIQDAQVFLWQKQTRSQESTKY |
| IL-4R HORSE | SCLCIPLFCLECYPSITKIKKIWWDQIPTPARSPLVAIIQDAQVFLWQKQTRSQESTKY |
| | * : : * : : * : : * : : * : : * : : * : : * : : * : : * : : * : : * : : * : * |
| IL4R_HUMAN | PHWKNCLTKLLPCLFPHN:KRDDEDPHKAAKEMPFQSGSKSAWCPVEISKTVLWPE--SIS |
| IL4R_MOUSE | PHWKTCLDKLLPCLLKHRVKKKTDFPKAAPTSLQSPGKAGWCPMEVSRVTLWPENVS |
| IL-4R HORSE | PHWKTCLDKLLPCLLKHRVKKKTDFPKAAPTSLQSPGKAGWCPMEVSRVTLWPENVS |
| | * * * * * : : : : : * : : * : : * : : * : : * : : * : : * : : * : : * : * |
| IL4R_HUMAN | VVRCVELFEAPVECEEEEEVEERKGSFCASPESRRDD-FQEGREGIVARLTESLFLDLG |
| IL4R_MOUSE | VVRCMELFEAPVQNVEREEDRIVKEDLSMSPENSGGCGFQESQADIMARLTENLFSDLLE |
| IL-4R HORSE | VVRCMELFEAPVQNVEREEDRIVKEDLSMSPENSGGCGFQESQADIMARLTENLFSDLLE |
| | : : : : : * : : * : : * : : * : : * : : * : : * : : * : : * : : * : : * : * |
| IL4R_HUMAN | EENGSGFCQODMGESCLLI:PSGSTSAHMPWDEFPSAGPKEAPPWGKEQPLHLEPSPFASPT |
| IL4R_MOUSE | AENGGLGQSALAESCSP:PSGSGQASVSWACLPMGPSEATCQVTEQPSHFGPLS-GSPA |
| IL-4R HORSE | AENGGLGQSALAESCSP:PSGSGQASVSWACLPMGPSEATCQVTEQPSHFGPLS-GSPA |
| | * * * * * : : : * : : * : : * : : * : : * : : * : : * : : * : : * : : * : * |
| IL4R_HUMAN | QSPDNLTCTETPLVIAGNPAYRSFNSLSQSPCPRELOPDPLARHLREVEPEMPCVPOL |
| IL4R_MOUSE | QSAPTLACTQVPLVLADNPAYRSFSDCCSPAPNPGETAPEQQQADHLEEEEPSPADPHS |
| IL-4R HORSE | QSAPTLACTQVPLVLADNPAYRSFSDCCSPAPNPGETAPEQQQADHLEEEEPSPADPHS |
| | * : : : * : : * : : * : : * : : * : : * : : * : : * : : * : : * : : * : * |
| IL4R_HUMAN | SEPTTVQPEPETWEQII:RNVLQHGAAPVSAPTSGYQEFVHAVEQGGTQASAVVGLG |
| IL4R_MOUSE | SGPPMQP---VESWEQII:HMSVLQHGAAGSTPAPAGGYQEFVQAVKQGAADPGVPGVR |
| IL-4R HORSE | SGPPMQP---VESWEQII:HMSVLQHGAAGSTPAPAGGYQEFVQAVKQGAADPGVPGVR |
| | * : : * : : * : : * : : * : : * : : * : : * : : * : : * : : * : : * : : * |
| IL4R_HUMAN | PPGEAGYKAFSSLLASSAVSPEKCGFGASSGEEGYKPFQDLIPGCAGDPAPVPVPLPTFG |
| IL4R_MOUSE | PSGDPGYKAFSSLLSSN:IRGDTAAAGTDDGHGGYKPFQNPVP---NQSPSSVPLPTFG |
| IL-4R HORSE | PSGDPGYKAFSSLLSSN:IRGDTAAAGTDDGHGGYKPFQNPVP---NQSPSSVPLPTFG |
| | * : : * : : * : : * : : * : : * : : * : : * : : * : : * : : * : : * : : * |
| IL4R_HUMAN | LDREPPRSPQSHLPSS:PEHLGLEPGEKVEDMPKPPLPQEQATDPLVDSLGSIGIVYSAL |
| IL4R_MOUSE | LDTELSPSPLNSDPPKS:PECLGLELGLKGODWVKAPPPADQVPKPFQDDLPGFIVYSSL |
| IL-4R HORSE | LDTELSPSPLNSDPPKS:PECLGLELGLKGODWVKAPPPADQVPKPFQDDLPGFIVYSSL |
| | * : : * : : * : : * : : * : : * : : * : : * : : * : : * : : * : : * : : * |
| IL4R_HUMAN | TCHLCGHLKQCHGQEDG:QTFVMASPCCGCCGDRSSPPTTPLRAPDPSPGGVPLEASLC |
| IL4R_MOUSE | TCHLCGHLKQHHSQEEG:QSPIVASPGCGCCYDDRSPLGSLSGALESCPEGIPPEANLM |
| IL-4R HORSE | TCHLCGHLKQHHSQEEG:QSPIVASPGCGCCYDDRSPLGSLSGALESCPEGIPPEANLM |
| | * : : : * : : * : : * : : * : : * : : * : : * : : * : : * : : * : : * : * |
| IL4R_HUMAN | PASLAPSGISEKSKSSSS:FHPAPGNAQSSSQTFKIVNFVSVGPTYMRVS |
| IL4R_MOUSE | SAPKTPSNLS-----GEGKGPQHSVPVPSQTTEVPVVGALGIAVS |
| IL-4R HORSE | SAPKTPSNLS-----GEGKGPQHSVPVPSQTTEVPVVGALGIAVS |
| | * : : * : : * : : * : : * : : * : : * : : * : : * : : * : : * : : * : : * |

Figure 12

